

# ОСОБЕННОСТИ ЭЛЕКТРИЧЕСКИХ СВОЙСТВ ФЕРРОМАГНИТНЫХ СПЛАВОВ ГЕЙСЛЕРА $\text{Ni}_2\text{MnGa}$ И $\text{Co}_2\text{CrGa}$

***Н. И. Коуров\*, В. В. Марченков, В. Г. Пушин, К. А. Белозерова***

*Институт физики металлов Уральского отделения Российской академии наук  
620990, Екатеринбург, Россия*

Поступила в редакцию 26 ноября 2012 г.

Приведены результаты измерений электрических свойств ферромагнитных сплавов Гейслера  $\text{Ni}_2\text{MnGa}$  и  $\text{Co}_2\text{CrGa}$  в интервале температур 4–900 К. Обсуждается влияние энергетической щели вблизи уровня Ферми в электронном спектре на поведение электросопротивления и абсолютной дифференциальной термоэдс.

DOI: 10.7868/S0044451013070146

## 1. ВВЕДЕНИЕ

Ферромагнитные сплавы Гейслера (со структурой  $L2_1$  и с формулой  $X_2YZ$ , где X, Y — переходные металлы, а Z — элементы III–V групп периодической таблицы Д. И. Менделеева) можно условно разделить на два подкласса объектов, имеющих разный характер электронной зонной структуры вблизи уровня Ферми с энергией  $E_F$ . Одни из них, так называемые полуметаллические ферромагнетики (ПМФ), имеют при  $E_F$  энергетическую щель в электронном спектре для одной из подполос, различающихся направлениями спинов электронов проводимости относительно вектора спонтанной намагниченности [1]. Для разных ПМФ глубина и ширина такой щели могут достаточно сильно варьироваться. В частности, сплав  $\text{Co}_2\text{CrGa}$  в магнитоупорядоченном состоянии имеет в своем электронном спектре для электронов со спинами против вектора намагниченности энергетическую щель предельной глубины непосредственно при  $E_F$ . Ширина этой щели по данным разных авторов [2, 3] составляет около (0.1–0.5) эВ.

Второй подкласс ферромагнитных сплавов Гейслера не имеет вблизи  $E_F$  ярко выраженной «щелевой» особенности в электронном спектре. Примером таких сплавов является  $\text{Ni}_2\text{MnGa}$ . Это показывают результаты одной из первых работ, в которой проведены расчеты *ab initio* электронной зонной струк-

туры сплава  $\text{Ni}_2\text{MnGa}$  как в ферромагнитном, так и в парамагнитном состояниях [4]. Очевидно, что особенности электронной зонной структуры должны проявляться себя в поведении электрических свойств, приводя к принципиальному их различию для каждого из указанных подклассов сплавов Гейслера.

## 2. ЭЛЕКТРОСОПРОТИВЛЕНИЕ

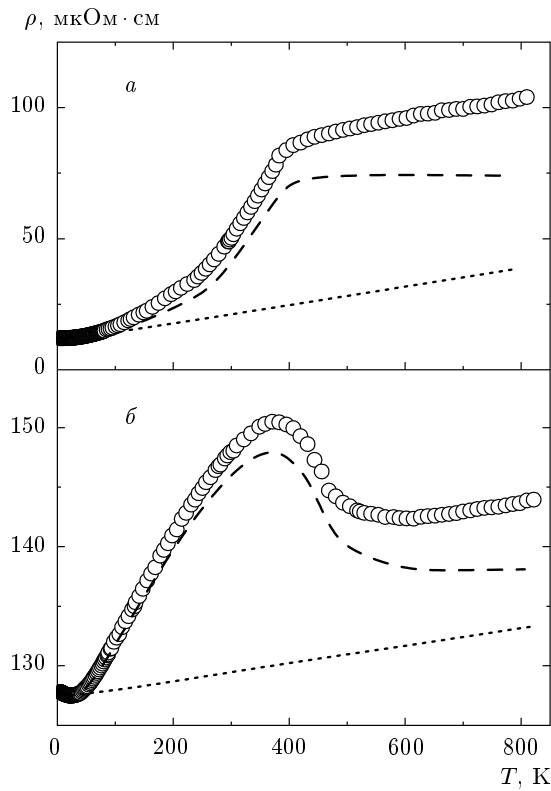
Электросопротивление  $\rho(T)$  сплава  $\text{Ni}_2\text{MnGa}$  исследовано в ряде работ с учетом его зонной структуры [5–8]. При этом наряду с остаточным сопротивлением  $\rho_0 \sim 10 \text{ мкОм}\cdot\text{см}$ , определяемым при  $T \rightarrow 0 \text{ К}$ , выделяются наиболее значимые магнитный  $\rho_m$  и фононный  $\rho_{ph}$  вклады. На рис. 1а приводится общий вид зависимости  $\rho(T)$  сплава  $\text{Ni}_2\text{MnGa}$ . Там же показаны основные аддитивные составляющие сопротивления. Вклад  $\rho_{ph}(T)$  определялся нами с помощью табулированной функции Блоха–Грюнайзена [9]

$$\rho_{ph} = B \left( \frac{T}{\theta_D} \right)^5 \int_0^{\theta_D/T} \frac{x^5 dx}{(e^x - 1)(1 - e^{-x})} \quad (1)$$

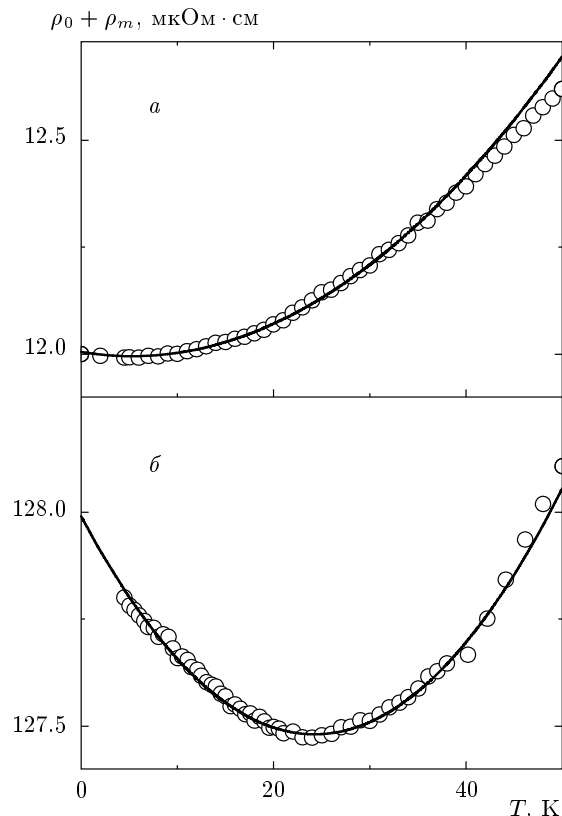
В выражении (1) температура Дебая  $\theta_D = 319 \text{ К}$  выбиралась согласно результатам измерения низкотемпературной теплоемкости [10], а коэффициент  $B$  с учетом наклона экспериментальной линейной зависимости  $\rho(T)$  при  $T > \theta_D, T_C$ . Составляющая  $\rho_m(T)$  вычислялась как разность между измеренными значениями  $\rho(T)$  и фононным вкладом  $\rho_{ph}(T)$ , полу-

---

\*E-mail: kourov@imp.uran.ru



**Рис. 1.** Электросопротивление сплавов Гейслера:  
а — Ni<sub>2</sub>MnGa, б — Co<sub>2</sub>CrGa. Штриховая линия показывает температурную зависимость магнитной составляющей  $\rho_m(T)$ , пунктирная линия — фононный вклад  $\rho_{ph}(T)$



**Рис. 2.** Магнитная составляющая электросопротивления при низких температурах в сплавах Гейслера: а — Ni<sub>2</sub>MnGa, б — Co<sub>2</sub>CrGa. Сплошные линии показывают результаты обработки экспериментальных данных по формуле (3)

ченным согласно<sup>1)</sup> формуле (1). Видно, что  $\rho_m(T)$  с ростом температуры плавно увеличивается, а затем выше точки Кюри  $T_C \sim 390$  К резко насыщается. Реализующийся в данном сплаве при  $T < T_C$  ряд структурных превращений (из аустенитной фазы  $B2$  в мартенситную  $L2_1$  с последующими переходами в длиннопериодические структуры типа  $5M$  и  $7M$  [11]) слабо сказывается на поведении  $\rho(T)$ .

Известно [9], что при низких температурах ( $T \ll \ll \theta_D, T_C$ ) фононный вклад в сопротивление описывается простым степенным выражением

$$\rho_{ph}(T) = cT^5. \quad (2)$$

Это позволяет определить оставшуюся сумму низкотемпературных вкладов ( $\rho_0 + \rho_m$ ), которая приводится на рис. 2 а. Следуя работе [8], ее можно описать

<sup>1)</sup> В данном случае вклад в  $\rho(T)$ , обусловленный электрон-электронным рассеянием, не учитывается из-за его относительной малости.

выражением, характерным для ферромагнитных металлов [12]:

$$\rho = \rho_0 + aT + bT^2. \quad (3)$$

Полученные при этом значения остаточного сопротивления  $\rho_0$ , коэффициентов  $a$ ,  $b$  и  $c$  приведены в таблице.

Обычно коэффициент  $b$  в формуле (3) связывается с механизмом электрон-электронного рассеяния, который становится существенным при низких температурах. Однако величина коэффициента  $b$  в рассматриваемых сплавах более чем на порядок превышает его значения, обычно наблюдаемые в переходных металлах (см. [13] и данные таблицы). В определенной степени квадратичная температурная зависимость сопротивления может быть обусловлена электрон-магнонным рассеянием, как это было установлено для ферромагнитных переходных металлов, например, в работе [14].

Природа линейной по температуре составляю-

**Таблица.** Величины коэффициентов  $a$ ,  $b$ ,  $c$  и  $\rho_0$  для исследованных сплавов Гейслера, полученные согласно выражениям (2) и (3)

Сплавы	$\rho_0$ , мкОм·см	$a \cdot 10^3$ , мкОм·см/K	$b \cdot 10^4$ , мкОм·см/K <sup>2</sup>	$c \cdot 10^{10}$ , мкОм·см/K <sup>5</sup>
Ni <sub>2</sub> MnGa	12	-3.7	3.5	15.4
Co <sub>2</sub> CrGa	128	-43	9	2.1

щей в формуле (3) рассматривалась многими исследователями как теоретически, так и экспериментально [12]. В нашем случае необычным является то, что коэффициент  $a$  в формуле (3) имеет отрицательный знак. Это возможно, если он обусловлен механизмом рассеяния электронов проводимости на спиновых волнах. В таком случае величина и знак коэффициента  $a$  зависят от вида закона дисперсии для электронов проводимости. Слабое влияние внешнего магнитного поля на зависимость  $\rho(T)$  сплава Ni<sub>2</sub>MnGa при низких температурах также указывает на то [8], что значения коэффициентов  $a$  и  $b$  в выражении (3) определяются, прежде всего, параметрами электронной зонной структуры вблизи поверхности Ферми.

В полуметаллических сплавах Гейслера, ярким представителем которых является Co<sub>2</sub>CrGa, поведение сопротивления должно существенно определяться наличием энергетической щели для одной из подзон электронов проводимости. На рис. 1б и 2б видно, что для температурной зависимости сопротивления ПМФ Co<sub>2</sub>CrGa можно отметить три основные особенности: его необычно большую для металлического сплава величину ( $\rho_0 \sim 130$  мкОм·см), наличие максимума на зависимости  $\rho(T)$  вблизи  $T_C = 495$  К [2] и минимума при  $T \approx 25$  К  $\ll T_C$ . Выше  $T_C$  величина сопротивления линейно возрастает с увеличением температуры, что характерно для его фононной составляющей. Это позволяет определить фононный  $\rho_{ph}(T)$  и магнитный  $\rho_m(T)$  вклады аналогично тому, как это делалось для сплава Ni<sub>2</sub>MnGa. На рис. 1б видно, что основные особенности  $\rho(T)$  наблюдаются при  $T < T_C$  и связаны с его магнитной составляющей.

При рассмотрении составляющей сопротивления  $\rho_m(T)$  необходимо учитывать два параллельных канала проводимости для электронов со спином вдоль ( $\uparrow$ ) и против ( $\downarrow$ ) вектора намагниченности. Проводимость первого канала  $\sigma_\uparrow$  для электронов со спином  $\langle\uparrow\rangle$  имеет обычный для ферромагнитных сплавов вид, подобный рассмотренному выше для Ni<sub>2</sub>MnGa.

Она определяется, прежде всего, механизмами рассеяния носителей тока на неоднородностях магнитной подсистемы. Во втором канале, для электронов со спинами  $\langle\downarrow\rangle$ , проводимость  $\sigma_\downarrow$  будет зависеть в основном от параметров энергетической щели в электронном спектре. В гипотетическом случае, когда энергетическая щель наблюдается точно при  $E_F$  и в основном состоянии (при  $T \sim 0$  К) имеет предельную глубину, носители тока со спином  $\langle\downarrow\rangle$  практически отсутствуют, т. е. плотность состояний  $n(\downarrow)_{E_F} \approx 0$ . В этом случае следует ожидать, что температурная зависимость  $\sigma_\downarrow$  будет иметь «полупроводниковый» ход. При учете достаточно высокой величины сопротивления ПМФ Co<sub>2</sub>CrGa полный магнитный вклад в его проводимость, по-видимому, можно записать в виде

$$\sigma_m = \sigma_\uparrow + \sigma_\downarrow. \quad (4)$$

Вопрос о влиянии процесса формирования энергетической щели в электронном спектре на сопротивление рассматривался, например, при атомном упорядочении сплавов в [15–17] и при возникновении антиферромагнитного упорядочения в [18, 19]. Следуя работам [18, 19], можно считать, что параметры щели в электронном спектре для ПМФ Co<sub>2</sub>CrGa зависят прежде всего от величины самопроизвольной намагниченности  $M_S$ . При  $T \ll T_C$  величина  $M_S$  слабо изменяется с температурой, а следовательно, параметры щели и  $\sigma_\downarrow$  остаются практически постоянными. Поэтому зависимость  $\rho_m(T) = \sigma_m^{-1}(T)$  при низких температурах определяется в основном проводимостью канала со спином электронов  $\langle\uparrow\rangle$ , т. е. величиной  $\sigma_\uparrow$ . На рис. 2б видно, что здесь температурная зависимость сопротивления описывается, как и в сплаве Ni<sub>2</sub>MnGa, выражением (3). Следует отметить также, что зависимость  $\rho(T)$  в ПМФ Co<sub>2</sub>CrGa при низких температурах не претерпевает существенных изменений в магнитных полях  $H \leq 150$  кЭ.

Согласно данным, приведенным в таблице, величины коэффициентов  $a$  и  $b$ , а также  $\rho_0$  для

ПМФ  $\text{Co}_2\text{CrGa}$  значительно превышают их значения для ферромагнетика  $\text{Ni}_2\text{MnGa}$ . Большую величину  $\rho_0$  в ПМФ  $\text{Co}_2\text{CrGa}$ , по сравнению с обычным (бесщелевым) ферромагнитным сплавом Гейслера  $\text{Ni}_2\text{MnGa}$ , можно объяснить особенностями его электронной зонной структуры. Наличие щели при  $E_F$  в электронном спектре для электронов проводимости со спином « $\downarrow$ » сопровождается «вымораживанием» значительной части носителей тока в ПМФ  $\text{Co}_2\text{CrGa}$ . Значительное усиление глубины низкотемпературного минимума на кривой  $\rho(T)$ , в основном за счет возрастания величины коэффициента  $a$ , можно объяснить наличием составляющей  $\sigma_\downarrow$ , в которой зависимость сопротивления «полупроводникового» типа может быть обусловлена процессами туннелирования электронов проводимости (прыжковым механизмом проводимости) [20].

Аномалия типа максимума  $\rho(T)$ , наблюдаемая в ПМФ  $\text{Co}_2\text{CrGa}$  при  $T \leq T_C$ , подобна той, что имеет место вблизи точки Нееля для марганца, в котором из-за антиферромагнитного упорядочения энергетическая щель в электронном спектре возникает также при  $E_F$ . В [18] эта аномалия  $\rho(T)$  объясняется суперпозицией фононного и магнитного вкладов в сопротивление, когда на линейный рост  $\rho_{ph}(T)$  накладывается резкое уменьшение магнитной составляющей из-за исчезновения спонтанной намагниченности. В приближении среднего поля в [18] получено выражение

$$\begin{aligned} \rho(T) &= \rho_{ph}(T) + \rho_m(T) = \\ &= \alpha T + \beta [1 - M_S^2(T)] + \gamma M_S^2(T)T. \end{aligned} \quad (5)$$

В нашем случае реализуется аналогичная ситуация. При  $T \rightarrow T_C$  спонтанная намагниченность  $M_S \rightarrow 0$ . Это приводит к исчезновению щели вблизи  $E_F$  для подзоны электронов со спином « $\downarrow$ », а следовательно, к резкому увеличению проводимости  $\sigma_\downarrow$  и уменьшению составляющей  $\rho_m(T)$ . При дальнейшем росте температуры  $\rho_m(T) \rightarrow \text{const}$ , а температурный ход сопротивления определяется только составляющей  $\rho_{ph}(T)$ .

### 3. ТЕРМОЭДС

Поведение абсолютной дифференциальной термоэдс  $S(T)$  в рассматриваемых сплавах Гейслера показано на рис. 3. Видно, что зависимости  $S(T)$  имеют нелинейный вид с глубокими аномалиями типа максимума в ПМФ  $\text{Co}_2\text{CrGa}$  и минимума в ферромагнитном сплаве  $\text{Ni}_2\text{MnGa}$ , расположенными при температурах 150–200 К. Очевидно [20], что такая

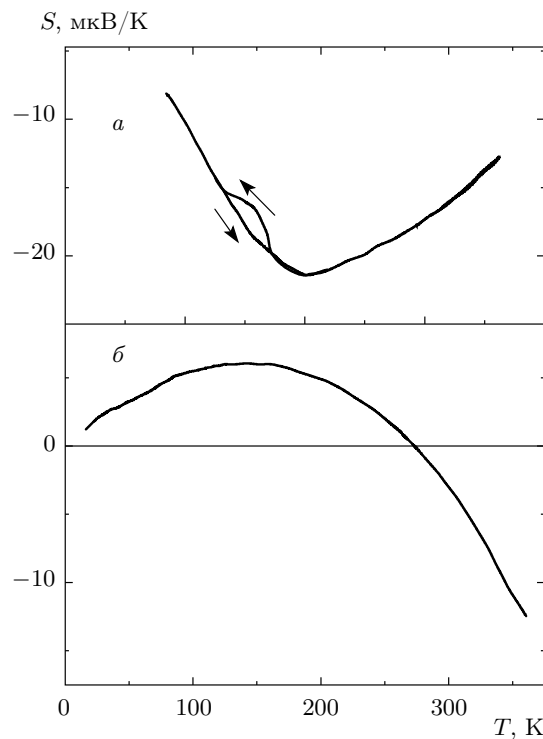


Рис. 3. Абсолютная дифференциальная термоэдс сплавов Гейслера: *а* —  $\text{Ni}_2\text{MnGa}$ , *б* —  $\text{Co}_2\text{CrGa}$ . Стрелки показывают направление изменения температуры

особенность на кривых  $S(T)$  не может быть связана с эффектами фононного или магнитного увлечения электронов, так как первый эффект максимальен при  $T \approx (0.1 - 0.2)\theta_D$ , а второй обычно мал. Скорее всего, наблюдаемая аномалия на зависимостях  $S(T)$  обусловлена диффузионной составляющей термоэдс. Поэтому эту аномалию  $S(T)$  следует связывать с особенностями электронной зонной структуры и с процессами рассеяния электронов проводимости, которые свойственны исследованным сплавам Гейслера.

В двухзонной модели Мотта экспериментально полученная зависимость  $S(T)$  ферромагнитного сплава  $\text{Ni}_2\text{MnGa}$  может быть описана выражением [21]

$$\begin{aligned} S &= \frac{\pi^2 k_B^2 T}{3e} \left( \frac{\partial \ln \sigma}{\partial E} \right)_{E_F} = \\ &= -\frac{\pi^2 k_B^2 T}{3e} \left[ \frac{3}{2} E_F - \frac{n'_d(\uparrow) + n'_d(\downarrow)}{n_d(\uparrow) + n_d(\downarrow)} \right]_{E_F}. \end{aligned} \quad (6)$$

В формуле (6)  $e$  — заряд электрона,  $k_B$  — постоянная Больцмана,  $\sigma = 1/\rho$  — проводимость, стрел-

ки указывают плотности состояний  $n_d$  и их первые производные  $n'_d$  на уровне Ферми  $E_F$  для  $d$ -подзон со спинами электронов вдоль и против вектора намагниченности. Отсюда можно сделать вывод о существенной перестройке структуры  $d$ -подполос с противоположно направленными спинами электронов вблизи  $E_F$  при переходе от низких к высоким температурам. При этом следует учитывать, что с ростом температуры изменяется также роль основных рассеивателей  $s$ -электронов. При низких температурах определяющими рассеивателями являются статические неоднородности кристаллической решетки и механизм электрон-электронного рассеяния, а с ростом температуры усиливается роль рассеяния электронов на фонах и динамических возбуждениях магнитной подсистемы. Кроме того, отметим, что характер зонной структуры сплава Ni<sub>2</sub>MnGa может претерпевать существенные изменения вследствие каскада структурных превращений ( $B2 \leftrightarrow L2_1 \leftrightarrow 5M \leftrightarrow 7M$ ), происходящих в нем при  $T < T_C \approx 390$  К [11]. В частности, это может быть причиной гистерезиса на зависимости  $S(T)$ , наблюдаемого при прохождении интервала температур 120–170 К в результате нагрева и охлаждения исследуемого образца.

При рассмотрении термоэдс ПМФ Co<sub>2</sub>CrGa важным фактором становится принципиальное различие зонной структуры в ближайшей окрестности  $E_F$  для подзон электронов со спинами « $\uparrow$ » и « $\downarrow$ ». В магнитоупорядоченном состоянии термоэдс ПМФ Co<sub>2</sub>CrGa должна подчиняться более сложному выражению [21]

$$S = \frac{\sigma_{\uparrow} S_{\uparrow} + \sigma_{\downarrow} S_{\downarrow}}{\sigma_{\uparrow} + \sigma_{\downarrow}}. \quad (7)$$

Здесь стрелки обозначают проводимость и термоэдс подзон электронов со спинами вдоль и против вектора намагниченности.

Для подзоны электронов со спином « $\uparrow$ » проводимость и термоэдс могут быть определены в обычном одноэлектронном приближении. Однако для подзоны электронов со спином « $\downarrow$ » наличие энергетической щели в электронном спектре вблизи  $E_F$  приведет к появлению добавочной термоэдс  $S_{add}$ . Согласно [22], эта добавка к термоэдс имеет следующий вид:

$$S_{add} = -\frac{\pi^2 k_B^2 T}{3|e|E_F} \frac{k_0}{k_0 - k_F} \frac{k^2}{(k_0 - k_F)^2}. \quad (8)$$

В выражении (8)  $k_0$  — значение квазимпульса электрона, при котором в спектре появляется разрыв, а  $k_F$  — квазимпульс Ферми. Константа  $k$  зависит от

величины щели и степени атомного порядка. В нашем случае константа  $k$  будет определяться, прежде всего, величиной  $M_S$ . При неизменных параметрах щели  $S_{add}$  должна быть пропорциональна температуре, а ее знак может быть любым в зависимости от положения щели относительно  $E_F$ .

Предположение о наличии дополнительного вклада  $S_{add}$ , имеющего положительный знак (когда  $k_F > k_0$ ) и достаточно большую величину (когда  $k_F \sim k_0$ ), позволяет понять смену знака низкотемпературной термоэдс при переходе от ферромагнитного сплава Гейслера Ni<sub>2</sub>MnGa к ПМФ Co<sub>2</sub>CrGa (см. рис. 3). С ростом температуры щелевая особенность в электронном спектре для подзоны электронов со спином « $\downarrow$ », а следовательно, и добавочный вклад  $S_{add}$ , исчезают из-за того, что  $M_S \rightarrow 0$  при  $T \rightarrow T_C$ . При этом усиливается отрицательный вклад в термоэдс от подзоны электронов со спином « $\uparrow$ », что позволяет объяснить смену знака термоэдс, наблюдавшуюся при увеличении температуры в ПМФ Co<sub>2</sub>CrGa, а также максимум  $S(T)$ , обнаруженный при  $T \sim 150$  К.

#### 4. ЗАКЛЮЧЕНИЕ

Таким образом, проведенные исследования показывают, что основные особенности электрических свойств ферромагнитных сплавов Гейслера находят объяснение в рамках двухтоковой модели, учитывающей проводимости для электронов со спином вдоль  $\sigma_{\uparrow}$  и против  $\sigma_{\downarrow}$  вектора намагниченности. В ферромагнитных сплавах Гейслера типа Ni<sub>2</sub>MnGa, когда  $\sigma_{\uparrow} = \sigma_{\downarrow}$ , поведение электрических свойств имеет обычный вид. В случае ПМФ наличие энергетической щели в электронном спектре для электронов со спином « $\downarrow$ » при  $E_F$  сопровождается «вымораживанием» значительной части носителей тока, что может быть одной из причин высоких значений их  $\rho_0$ . Аномалия типа максимума  $\rho(T)$ , наблюдавшаяся в ПМФ Co<sub>2</sub>CrGa при  $T \leq T_C$ , объясняется суперпозицией фононного и магнитного вкладов в сопротивление, когда на линейный рост  $\rho_{ph}(T)$  накладывается резкое уменьшение магнитной составляющей сопротивления из-за исчезновения щелевой особенности в электронном спектре ферромагнетика.

Энергетическая щель в электронном спектре для подзоны электронов со спином « $\downarrow$ », наблюдавшаяся в ПМФ при  $E_F$ , приводит к появлению добавочной термоэдс  $S_{add}$ , пропорциональной температуре. Величина этой добавки и ее знак определяются отношением величин квазимпульса электрона

$k_0$ , при котором в спектре появляется разрыв, к квазимпульсу Ферми  $k_F$ , а также глубиной щели, которая зависит от самопроизвольной намагниченности и степени атомного порядка.

Авторы благодарны В. Ю. Ирхину за полезное обсуждение результатов измерений электрических свойств полуметаллических ферромагнетиков.

Работа выполнена при частичной финансовой поддержке РФФИ (грант № 12-02-00271) и в рамках программы фундаментальных научных исследований Отделения физических наук РАН (проект № 12-П-2-1060).

## ЛИТЕРАТУРА

1. В. Ю. Ирхин, М. И. Кацнельсон, УФН **164**, 705 (1994).
2. R. K. Umetsu, K. Kobayashi, R. Kainuma, A. Fujita, and K. Fukamichi, Appl. Phys. Lett. **85**, 2011 (2004).
3. T. M. Nakatani, Z. Gercsi, A. Rajanikanth, Y. K. Takahashi, and K. Hono, J. Phys. D: Appl. Phys. **41**, 225002 (2008).
4. S. Fujii, S. Ishida, and S. Asano, J. Phys. Soc. Jpn. **58**, 36 (1989).
5. Y. Zhou, X. Jin, and H. Xu, J. Appl. Phys. **91**, 9894 (2002).
6. J. Y. Rhee, Y. V. Kudryavtsev, J. Dubowik, and Y. P. Lee, J. Appl. Phys. **93**, 5527 (2003).
7. K. M. Kim, J. B. Kim, M. D. Huang et al., J. Kor. Phys. Soc. **45**, 28 (2004).
8. E. B. Marchenkova, N. I. Kourov, V. V. Marchenkova et al., J. Phys.: Conf. Ser. **150**, 022054 (2009).
9. Дж. Займан, *Электроны и фононы*, Изд-во иностр. лит., Москва (1962).
10. Н. И. Коуров, А. В. Королев, В. Г. Пушин, Е. В. Марченкова, ФТТ **54**, 1999 (2012).
11. А. Н. Васильев, В. Д. Бучельников, Т. Тагаки, В. В. Ховайло, Э. И. Эстрин, УФН **173**, 577 (2003).
12. С. В. Вонсовский, *Магнетизм*, Наука, Москва (1971).
13. M. J. Rice, Phys. Rev. Lett. **20**, 1439 (1968).
14. Е. А. Туров, Изв. АН СССР, сер. физ. **19**, 474 (1955); ФММ **6**, 203 (1958).
15. А. А. Смирнов, ЖЭТФ **17**, 743 (1947).
16. К. Б. Власов, ЖЭТФ **22**, 251 (1952).
17. В. Ф. Лось, В. А. Макара, С. П. Репецкий, А. А. Каленик, Металлофизика **15**, 33 (1993).
18. Ю. П. Ирхин, ФММ **6**, 214 (1958).
19. В. Ю. Ирхин, Ю. П. Ирхин, *Электронная структура, физические свойства и корреляционные эффекты в d- и f-металах и их соединениях*, УрО РАН, Екатеринбург (2004).
20. Н. Мотт, Э. Дэвис, *Электронные процессы в некристаллических веществах*, Мир, Москва (1974).
21. Ф. Дж. Блатт, П. А. Шредер, К. Л. Фойлз, Д. Грейг, *Термоэлектродвижущая сила металлов*, Металлургия, Москва (1980).
22. С. И. Машаров, Н. М. Рыбалко, Изв. ВУЗов, физика **12**, 101 (1975).